

турного коэффициента кварцевого резонатора в диапазоне 0—100 °С составляет 0,074 °С.

Частотный выход термодатчика позволяет удалять цифровой измеритель температуры на большие расстояния от измеряемого объекта без внесения дополнительных погрешностей. В экспериментах были применены кварцевые резонаторы с $f_0 \approx 5$ МГц и $K \approx 170$ Гц/°С. Информация с цифрового измерителя температуры по каналу связи через стандартные модули вводилась в ЭВМ. Коммутация термодатчиков осуществлялась также через стандартные модули.

Следует заметить, что при относительных измерениях плотности тепловыделения может быть использован режим перехода реактора с одного уровня мощности на другой (рис. 1, 2). На рис. 1 показано, как изменяется температура в различных зонах критической сборки при различной мощности. На рис. 2 приведено распределение плотности тепловыделения по радиусу критической сборки, измеренное в центральной плоскости. Измерения выполнены контактным кинетическим методом и малогабаритными камерами деления [5].

Переход от скорости счета, полученной с помощью камер деления, к плотности тепловыделения осуществляется по формуле

$$Q = \sum_i AN_i E_f^i n_i (\langle \sigma_f^i \rangle / \langle \sigma_f^{235} \rangle), \quad (3)$$

где N_i — относительная скорость счета камеры деления i -го делящегося элемента; E_f^i — часть энергии, выделяемая при одном акте деления i -го делящегося элемента, которая реализуется в тепло; n_i — концентрация ядер данного

элемента в 1 см³ сборки; $\langle \sigma_f^i \rangle / \langle \sigma_f^{235} \rangle$ — отношение усредненных по спектру нейтронов сечений деления соответствующих элементов.

Отношение средних сечений реакций для делящихся элементов определялось экспериментально. Коэффициент A определен с помощью абсолютной камеры деления для центра активной зоны. При вычислении плотности полного тепловыделения по формуле (1) значения молярных тепломощностей взяты из работы [6]. Оказалось, что в зонах малого обогащения (ЗМО) и большого обогащения (ЗБО) результаты, полученные обоими методами, в пределах погрешностей совпадают. Различие в экране полностью соответствует расчетному значению вклада в полное тепловыделение вторичного γ -излучения. Статистическая погрешность измеренных распределений в пределах активной зоны была не более 1%, в экране 3—5%.

СПИСОК ЛИТЕРАТУРЫ

- Геращенко О. А., Климентов В. Б., Никонов А. В. «Атомная энергия», 1972, т. 32, вып. 3, с. 232.
- Жилкин А. С. и др. Там же, 1977, т. 42, вып. 6, с. 502.
- Simons G., Olson A. «Nucl. Sci. Engng», 1974, v. 53, p. 162.
- Малов В. В. Пьезорезонансные датчики. М., «Энергия», 1978.
- Бондаренко В. В. и др. «Атомная энергия», 1968, т. 24, вып. 1, с. 82.
- Таблицы физических величин. Справочник под ред. И. К. Никонина. М., Атомиздат, 1976.

Поступило в Редакцию 24.01.79

УДК 621.089.548

Влияние водорода на погрешность измерения содержания делящихся нуклидов нейтронными методами

БУЛАНЕНКО В. И., ЧАРЫЧАНСКИЙ В. В.

Требования безопасности и материального учета в производстве ядерного топлива для энергетических ядерных реакторов вызывают необходимость в надежных методах и средствах измерения содержания делящихся нуклидов в различных средах. На практике наряду с другими применяются активные и пассивные нейтронные методы измерения содержания делящихся нуклидов. При использовании быстрых нейтронов (активные методы) и собственного нейтронного излучения среды (пассивные методы) для индуцирования делений в безводных средах наличие неконтролируемого количества водорода в анализируемом материале может вносить дополнительные погрешности в результате измерений [1]. Погрешность в этом случае вызывает изменения скорости реакции деления, изменение размножения, а также смягчение энергетического спектра нейтронов утечкой за счет замедления последних при взаимодействии с ядрами водорода, находящимися в контролируемой среде. В конечном итоге изменение этих параметров может привести к изменению отклика детектирующей системы, не связанного с изменением содержания делящихся нуклидов.

Влияние водорода на погрешность измерения содержания делящихся нуклидов в безводных средах рассмотрим на примере контроля обогащения гексафторида урана UF_6 изотопом ^{235}U . Для контроля обогащения урана в UF_6 , находящегося в транспортных емкостях, используют собственное нейтронное излучение, возникающее в реакции $^{19}F(\alpha, n)^{22}Na$ [2]. Хотя основным α -излучателем среди изотопов урана является ^{234}U ввиду практически постоянного изотопного отношения $^{235}U/^{234}U$ при низком (до 5%)

обогащении по ^{235}U , выход нейтронов (α, n)-реакции может служить мерой содержания ^{235}U [3].

В общем случае отклик детектирующей системы, используемой для определения обогащения, является функцией обогащения J и содержания водорода C_H :

$$N \approx f(J, C_H). \quad (1)$$

Приближенное выражение для функции отклика можно получить расчетами нейтронных полей системы, содержащей UF_6 с различным обогащением урана и различным содержанием ядер водорода. Методика расчета основывалась на решении многогрупповых уравнений, описывающих взаимодействие нейтронов с веществом в P_1 -приближении. Были проведены расчеты для цилиндра с отношением высоты к диаметру порядка единицы, заполненного UF_6 с плотностью 5 г/см³, в диапазоне обогащения урана от природного до 5% и содержания водорода от 0 до 0,05 мас. %, гомогенно распределенного в UF_6 . В качестве детектора использовали нейтронный счетчик с радиатором из 3He с кадмиевым экраном и без него, а также с экраном из карбида бора (B_4C).

Скорость счета нейтронного детектора определяли по рассчитанным групповым потокам и известной групповой эффективности. Результаты расчетов представлены на рис. 1. Эти результаты позволяют сделать следующие выводы, упрощающие дальнейшие расчеты.

1. Для указанного диапазона содержания водорода в UF_6 изменением размножения нейтронов в системе можно пренебречь. Относительное изменение $k_{\text{эфф}}$ не превышает 5%, при обогащении 5% и отсутствии водорода $k_{\text{эфф}} = 0,297$.

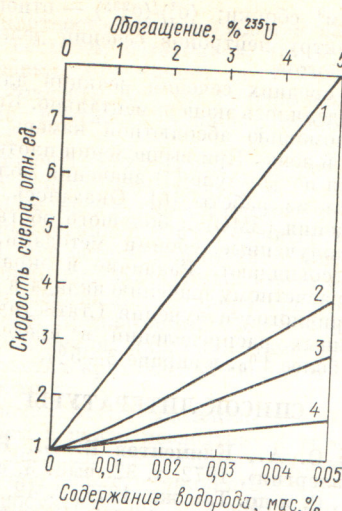


Рис. 1. Зависимость скорости счета нейтронов от обогащения (1) и содержания водорода (2, 3, 4), измеренного тепловым детектором (2) и детекторами с экранами из кадмия (3) и B₄C (4)

2. Изменение обогащения урана в UF₆ от природного до 5% практически не влияет на энергетический спектр нейтронов утечки.

3. Зависимость скорости счета нейтронов от обогащения в исследуемом диапазоне можно представить прямой линией вида

$$N_0 = A + BJ, \quad (2)$$

где A — постоянная вклада ²³⁸U в скорость счета; B — постоянная изменения скорости счета нейтронов на 1% изменения обогащения.

4. Зависимость скорости счета нейтронов от содержания водорода аппроксимируется линейной функцией вида

$$N = N_0 (1 + \gamma C_H). \quad (3)$$

Здесь γ — постоянная изменения скорости счета нейтронов на 0,1% изменения содержания водорода. Значения γ различны для теплового детектора и детекторов с экранами из кадмия и карбида бора. Следовательно, приближенное выражение для явной зависимости скорости счета от обогащения и содержания водорода запишется следующим образом:

$$N = (A + BJ) (1 + \gamma C_H). \quad (4)$$

Из выражения (4) получим аналитическую зависимость для определения обогащения по результатам измерения скорости счета нейтронов при произвольном содержании водорода:

$$J = \frac{1}{B} \left(\frac{N}{1 + \gamma C_H} - A \right). \quad (5)$$

Предположим теперь, что составляющие погрешности измерения обогащения, не связанные с наличием водорода, сведены до минимума и точно известны. Тогда погрешность, вносимая неопределенностью содержания водорода, может быть оценена так:

$$\Delta J_{(\Delta C_H)} = (\partial J / \partial C_H) \Delta C_H. \quad (6)$$

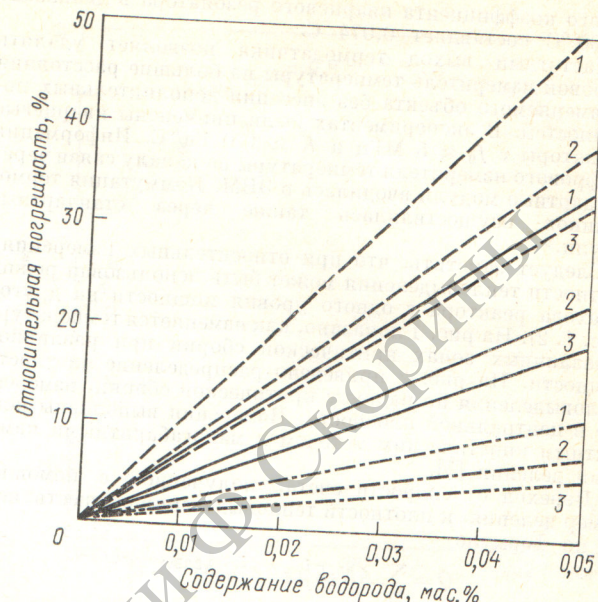


Рис. 2. Зависимость относительной погрешности измерения обогащения урана в UF₆ от содержания водорода: — тепловой детектор; — эпилептоловый детектор; — детектор с экраном из B₄C; 1—3 — обогащение 0,7; 1,8; 3,6% соответственно

Из равенств (4)–(6) легко получить выражение для относительной погрешности определения обогащения урана в UF₆, вносимой неопределенностью содержания водорода:

$$\delta_J = \frac{\gamma}{B} \frac{A + BJ}{1 + \gamma C_H} \frac{\Delta C_H}{J}. \quad (7)$$

На рис. 2 представлены результаты расчетов δ_J . При этом было принято, что $A = 1$, $B = 1,5$ (1/1% ²³⁵U); $\gamma = 1,4; 3,5; 5,8$ (1/0,1% H) соответственно для детекторов с экранами из B₄C и кадмия и без экрана. Значения постоянных A , B и γ получены с использованием зависимостей (4) и результатов расчетов, представленных на рис. 1.

Таким образом, наличие неконтролируемого количества водорода в анализируемой среде приводит к значительной погрешности измерения обогащения (~ 6 –10% на 0,01% водорода в зависимости от обогащения для теплового детектора). В связи с этим при измерении содержания делящихся веществ в безводных средах нейтронными методами необходимо контролировать содержание водорода или исключить его влияние на измерение, что может быть в некоторой степени обеспечено использованием комбинированных пороговых и 1/v-нейтронопоглощающих фильтров или детектирующей системы с эффективностью, не зависящей от энергии.

Авторы благодарят В. В. Фролова за постановку задачи и обсуждение результатов работы.

СПИСОК ЛИТЕРАТУРЫ

- Close D., Bearse R., Menlove H. «Nucl. Instrum. Methods», 1976, v. 136, p. 131.
- Walton R. e.a. «Nucl. Technol.», 1974, v. 21, p. 133.
- Sampson T. «Nucl. Sci. Engng», 1974, v. 54, p. 430.

Поступило в Редакцию 24.01.79